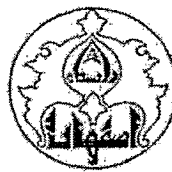


بنام خداوند بخشنده مهربان

۱۱.۷۸۴

۱۳۸۷/۰۷/۲۳

۱۳۸۷/۰۷/۲۶



دانشگاه اصفهان

دانشکده علوم

گروه زیست شناسی

پایان نامه دکتری رشته زیست شناسی علوم گیاهی گرایش سیستماتیک گیاهی

مطالعه سیستماتیک و تحلیل روابط خویشاوندی در گمپلکس *Festuca - Lolium* در ایران با استفاده از صفات ریخت شناختی و روش های مولکولی (Poaceae)

استادان راهنما

دکتر حجت الله سعیدی

دکتر محسن مردی

استادان مشاور

دکتر مصطفی اسدی

دکتر بهزاد قره یاضی

۱۳۸۷ / ۰۷ / ۲۱

پژوهشگر

مجید شریفی تهرانی

مهرماه ۱۳۸۷

کلیه حقوق مادی مترتب بر نتایج مطالعات،
ابنکارات و نوآوری های ناشی از تحقیق موضوع این
پایان نامه متعلق به دانشگاه اصفهان است.

پایان نامه
دانشگاه اصفهان
تحصیلات تکمیلی دانشگاه اصفهان



دانشگاه اصفهان

دانشکده علوم

گروه زیست شناسی

پایان نامه دکتری رشته علوم گیاهی - سیستماتیک آقای مجید شریفی تهرانی
تحت عنوان

مطالعه سیستماتیک و تحلیل روابط خویشاوندی در کمپلکس *Festuca - Lolium* (Poaceae) در ایران با
استفاده از صفات ریخت شناختی و روش های مولکولی

در تاریخ ۱۳۸۷/۷/۳ توسط هیات داوران زیر بررسی و با درجه طالی به تصویب نهایی رسید.

با مرتبه علمی

دکتر حجت الله سعیدی

۱- استاد راهنمای پایان نامه

با مرتبه علمی

دکتر محسن مردی

۲- استاد مشاور پایان نامه

با مرتبه علمی

دکتر مصطفی اسدی

با مرتبه علمی

دکتر بهزاد قره یاضی

دکتر محمد رضا حبیبی نژاد

۳- استاد داکور داخل گروه

با مرتبه علمی

دکتر سعید افشار زاده

۴- استاد داکور خارج گروه

با مرتبه علمی

دکتر مهدی یوسفی

امضای مدیر گروه: دکtor سید مجید قادریان

سپاسگزاری

تحصیل در مقاطع کارشناسی، کارشناسی ارشد و دکتری، به مدت چهارده سال و اندی (۱۳۷۳ تا ۱۳۸۷) در دانشگاه اصفهان، فرصت مغتنمی بود تا افتخار شاگردی در محضر استاد ارجمند گروه زیست شناسی دانشگاه اصفهان را کسب نموده و در سایه دلسوزی ها و تلاش های بی شائبه ایشان در مسیر کسب دانش و معرفت طی طریق نمایم. بی شک در این راه، هریک از این عزیزان به نوبه خود چراغ راه من بودند و آمیخته ای از درس مکتب و درس زندگی را به من عرضه نمودند. از خداوند متعال طول عمر با برکت ایشان را خواستارم و برخود لازم می دانم تا سپاسگزاری و قدردانی صمیمانه خود را از ایشان ابراز نمایم؛ آقایان دکتر رحیمی نژاد، دکتر آریاوند، دکتر افشارزاده، سرکار خانم دکتر قائم مقامی، دکتر آقایان دکتر مستاجران، دکتر وحدتی، دکتر بالالی، دکتر سپاهی، مهندس اسلامی، دکتر المدرس، دکتر مشتاقیان، دکتر ولیان، دکتر توسلی، دکتر روغنیان، دکتر متولی باشی، دکتر میراولیانی، دکتر مدنی، سرکار خانم مهندس افروز، آقایان دکتر جهانگیر نژاد، دکتر فتح پور، دکتر زرکش، دکتر کرمانشاهی، دکتر امتیازی، دکتر بودری، دکتر گلبانگ، مهندس امامی و دکتر سعیدی. همچنین تشکر ویژه و خسته نباشد عرض می نمایم خدمت استاد راهنمای عزیز و گرانقدر، جناب آقای دکتر سعیدی و جناب آقای دکتر مردی، و از خداوند متعال برای ایشان آرزوی خیر و برکت دارم.

از کلیه کارمندان و کارکنان دلسوز گروه زیست شناسی که با وجود مشغله زیاد، همه خدمات ایراد شده را با سعه صدر قبول نموده و به انجام رساندند، تشکر می نمایم و برای ایشان آرزوی بهروزی و سعادت می نمایم؛ سرکار خانم باقری، سرکار خانم قربانی، سرکار خانم بلوکی، آقای مهندس انتشاری، آقای مهندس حیدری، خانم مهندس روحانیان، آقای سلطانی، آقایان آقایی، حسینی و سایر کارکنان زحمت کش گروه زیست شناسی. برای آقایان دکتر قادریان، دکتر شریعتی و دکتر احسان پور نیز، ضمن عرض خسته نباشد آرزوی پیشرفت در همه امور می نمایم.

از کلیه دوستانم که همواره مایه دلگرمی و پشتوانه اینجانب بوده اند تشکر می نمایم و برای ایشان آرزوی سلامت و توفیق روزافزون دارم؛ آقایان مهندس طاهری، دکتر هادی، دکتر مهرگان، دکتر ترکزاده، دکتر بهشتی مآل، مهندس ربانی، دکتر قائم مقامی، دکتر درویشی، دکتر شاکری، دکتر اهتمام، دکتر ناجی، دکتر پیرسیدی، دکتر غفاری، مهندس پور ایران دوست، دکتر مرتضوی، خانم ها مهندس کاظمی و مهندس کریمی، و آقای دکتر مهرنژاد.

در پایان از همکاری بی دریغ موسسه تحقیقات بیوتکنولوژی کشاورزی ایران و خصوصا ریاست بخش تحقیقات ژنومیکس، جناب آقای دکتر مردی، که دانش فنی و کلیه هزینه های بخش مارکرهای ملکولی در این پایان نامه را بر عهده گرفتند، و موجبات آشنازی اینجانب با شخصیت های علمی و یادگیری بسیاری از روش های جدید شدند، و نهایتا دوره ای به یاد ماندنی و خاطره انگیز از همکاری علمی دوستانه و پر بار برای اینجانب رقم زدند، صمیمانه قدردانی می نمایم.

و با تشکر از همه روساء، مدیران، کارمندان و کارکنان دانشکده علوم، مدیریت تحصیلات تكمیلی، اداره آموزش و کتابخانه مرکزی دانشگاه اصفهان، و با آرزوی توفیق الهی برای ایشان.

تقدیم به:

آنان که در راه حقیقت و انسانیت از جان خود گذشتند؛
تقدیم به ارواح پاک شهیدان،
و تقدیم به همه کسانی که سالک راه حقیقت و انسانیت اند.

کمپلکس *Festuca-Lolium* به گروهی از آرایه‌های دارای خوبشاوندی نزدیک در دودمان فستوکوئیدها گفته می‌شود که در برگیرنده گونه‌هایی از دو جنس *Lolium* و *Festuca* است. اعضای این کمپلکس را گونه‌های برون زادگیر جنس *Lolium* و گونه‌های *Festuca* subgen *Schedonorus* تشکیل می‌دهند. در این تحقیق، با استفاده از صفات ریخت شناختی کمی، مارکرهای میکروساتلاتیت ژنومی و EST، و ترادف‌های نوکلئوتیدی نواحی ژنی ITS، trnL-F، trnT-L به مطالعه ۶ گونه متعلق به این کمپلکس در ایران پرداختیم.

تعداد ۸۶ صفت کمی بررسی گردید و دامنه تغییرات صفت‌ها در هر گونه و میانگین آنها برای هر یک به دست آمد. صفت‌های بدون تغییر، و صفت‌هایی که کمترین و بیشترین میزان تنوع را در هر گونه نشان دادند معرفی شدند. تحلیل فنتیک با استفاده از صفات ریخت شناختی کمی نشان داد که گونه درون زادگیر *L. persicum* قرابت کمتری با سایر گونه‌ها داشته و نمونه‌های مختلف گونه *F. arundinacea* نیز در دو خوشه مجزا قرار می‌گیرند. مطالعه روابط خوبشاوندی گونه‌ها، ساختار ژنتیکی جمعیت در *Festuca arundinacea*، تنوع ژنتیکی گونه‌ها، و انتقال پذیری مارکرها به *Lolium persicum* با استفاده از مارکرهای ملکولی میکروساتلاتیت ژنومی و EST صورت گرفت. از جمله نتایج این بخش از تحقیق می‌توان به جدایی ژنتیکی جمعیت خالکhal از گونه *L. persicum*، وجود دو خوشه اصلی جمعیت‌های شمالی و جنوبی برای *L. rigidum*، وجود یک ساختار ژنتیکی جمعیت برای *L. persicum* EST-SSR ($F_{ST}=0.3$) و تعیین میزان انتقال پذیری ۳۲ مارکر SSR به *arundinacea* اشاره نمود.

ترادف نوکلئوتیدی سه ناحیه ژنی در ژنوم هسته و کلروپلاست از تعدادی از گونه‌ها (نمونه‌های ایرانی) در آنالیز فیلوژنتیک استفاده گردید. نتایج آنالیز فیلوژنتیک موقعیت حد واسط *Festuca* subgenera *Drymenthele* & *Leucopoa* را بین دو خوشه اصلی حامل *Festuca-Lolium* و *Festuca-Vulpia* نشان داد. نتایج این بخش از تحقیق طبقه بندی ارایه شده توسط الکسیو را در برابر نظر قبلی ارایه شده توسط Bor در فلورا ایرانیکا مورد حمایت قرار داده و انتقال *Festuca* subgen *Leucopoa* به *Leucopoa sclerophylla* را تایید می‌کند. همچنین نتایج آنالیز فیلوژنتیک از انتقال اخیر آرایه *Festuca gigantea* از *Festuca subgen Schedonorus sect Plantinia* به *Drymenthele* حمایت می‌کند.

واژگان کلیدی: کمپلکس فستوکا لولیوم، فیلوژنی، تحلیل فنتیک، فیلوژنی، تنوع ژنتیکی، ساختار ژنتیک جمعیت

فهرست مطالب

عنوان	صفحه
فصل اول: مقدمه.....	۱
۱-۱- خانواده POACEAE.....	۱
۱-۲- طبقه بندی در خانواده POACEAE.....	۲
۱-۳- قبیله POEAE.....	۳
۱-۴- فستوکوئیدها.....	۵
۱-۵- منشا فستوکوئیدها.....	۶
۱-۶- کمپلکس FESTUCA-LOLIUM.....	۷
۱-۷- کمپلکس FESTUCA - LOLIUM در ایران.....	۸
۱-۸- تحلیل داده های چند متغیره در سیستماتیک گیاهی	۸
۱-۸-۱- تحلیل خوشه ای	۸
۱-۸-۲- اردیناسیون	۹
۱-۸-۳- آماره F (F-Statistics)	۱۰
۱-۸-۴- آنالیز ژنتیک جمعیت	۱۲
۱-۸-۵- آنالیز بایسین (Bayesian)	۱۶
۱-۸-۶- آنالیز واریانس ملکولی (AMOVA)	۲۱
۱-۸-۷- روش خوشه بندی k-means	۲۲
۱-۸-۸- آنالیز توام فاصله ژنتیکی و مختصات جغرافیایی	۲۳
۱-۹- اهداف این تحقیق	۲۴
۱-۱۰- مواد و روش ها	۲۵
فصل دوم: تاکسونومی و ریخت شناسی	۲۷
۲-۱- مقدمه	۲۷
۲-۲- ریخت شناسی خانواده Poaceae	۲۸
۲-۳- ریخت شناسی قبیله Poeae	۲۹
۲-۴- کلید شناسایی جنس ها در قبیله Poeae	۳۰
۲-۵- خطوط تکاملی قبیله Poeae	۳۱
۲-۶- جنس FESTUCA	۳۳
۲-۷- ریخت شناسی جنس Festuca	۳۴
۲-۸- تاکسونومی جنس Festuca	۳۵
۲-۹- کلید شناسایی گونه های جنس Festuca	۳۹
۲-۱۰- گونه Festuca arundinacea	۴۱
۲-۱۱- کلید شناسایی زیر گونه ها	۴۲
۲-۱۲- گونه Festuca pratensis	۴۳

عنوان

صفحه

۴۴.....	<i>Festuca gigantea</i> گونه
۴۴.....	<i>Festuca sclerophylla</i> گونه
۴۵.....	LOLIUM - جنس ۳-۲
۴۶.....	تاكsonomi جنس <i>Lolium</i>
۴۸.....	کلید شناسایی گونه های جنس <i>Lolium</i> در ایران
۵۰.....	<i>Lolium perenne</i> گونه
۵۱.....	<i>Lolium multiflorum</i> گونه
۵۱.....	<i>Lolium temulentum</i> گونه
۵۲.....	<i>Lolium persicum</i> گونه
۵۳.....	<i>Lolium rigidum</i> گونه
۵۳.....	۴-۲- اهداف بخش ریخت شناسی
۵۴.....	۵-۲- مواد و روش ها
۵۷.....	۶-۲- نتایج و بحث
۵۷.....	۱-۶-۲- تنواعات ریخت شناختی در هر گونه بر اساس صفات کمی
۸۲.....	۲-۶-۲- مقایسه بین گونه ها بر اساس صفات ریخت شناختی کمی
۸۷.....	۳-۶-۲- تحلیل فنتیک
۹۳.....	فصل سوم: مارکرهای ملکولی میکروساتلاتیت
۹۳.....	۱-۳- مقدمه
۹۴.....	۱-۱-۳- کاربرد داده های ملکولی در سیستماتیک گیاهی
۹۶.....	۲-۱-۳- انواع مارکرهای ملکولی
۹۷.....	۳-۱-۳- مارکرهای ملکولی میکروساتلاتیت
۹۹.....	۴-۱-۳- مارکرهای EST-SSR
۱۰۱.....	۱-۳-۵- مطالعه جمعیت ها به عنوان واحد های تکاملی
۱۰۴.....	۱-۳-۶- مرور منابع
۱۰۵.....	۱-۳-۷- اهداف فصل سوم
۱۰۷.....	۲-۳- مواد و روش ها
۱۰۷.....	۱-۲-۳- مواد گیاهی
۱۰۷.....	نمونه های گیاهی مورد مطالعه از گونه <i>Festuca arundinacea</i>
۱۰۹.....	نمونه های گیاهی مورد مطالعه از گونه <i>Festuca pratensis</i>
۱۱۱.....	نمونه های گیاهی مورد مطالعه از گونه <i>Lolium persicum</i>
۱۱۳.....	نمونه های گیاهی مورد مطالعه از گونه <i>Lolium rigidum</i>
۱۱۵.....	نمونه های گیاهی منتخب در بخش مطالعه روابط خویشاوندی در کمپلکس <i>Festuca-Lolium</i>
۱۱۸.....	۲-۲-۲- استخراج DNA
۱۱۹.....	۳-۲-۳- نشانگرهای میکروساتلاتیت

عنوان

صفحه

۱۲۰.....	۴-۲-۳- واکنش زنجیره ای پلیمراز (PCR)
۱۲۱.....	۵-۲-۳- تفکیک و آشکار سازی محصولات PCR
۱۲۲.....	۶-۲-۳- نمره دهی باندها
۱۲۲.....	۷-۲-۳- تحلیل داده ها
۱۲۴.....	۳-۳- نتایج و بحث
۱۲۴.....	۱-۳-۳- ساختار جمعیت و تنوع ژنتیکی در <i>Festuca arundinacea</i>
۱۲۸.....	آماره های توصیفی مربوط به مارکرها و جمعیت ها
۱۳۱.....	تحلیل خوشه ای
۱۳۳.....	آنالیز مختصات اصلی
۱۳۵.....	آنالیز باسین
۱۳۶.....	آنالیز AMOVA
۱۳۷.....	آنالیز توام فواصل ژنتیکی و جغرافیایی
۱۳۹.....	تنوع ژنتیکی مارکرهای SSR و EST-SSR در نمونه های بومی فستوکای بلند در ایران
۱۴۰.....	تنوع ژنتیکی و ساختار جمعیت های <i>F. arundinacea</i> در ایران
۱۴۳.....	۲-۳-۳- تنوع ژنتیکی در <i>Festuca pratensis</i>
۱۴۶.....	آماره های توصیفی مربوط به مارکرها و جمعیت ها
۱۴۹.....	تحلیل خوشه ای
۱۵۱.....	آنالیز مختصات اصلی
۱۵۴.....	۳-۳-۳- انتقال پذیری مارکرهای SSR, EST-SSR به <i>Lolium persicum</i>
۱۵۵.....	مارکرهای ملکولی میکروساتلاتیت
۱۵۸.....	تحلیل های خوشه ای و مختصات اصلی
۱۶۳.....	۴-۳-۳- تنوع ژنتیکی در <i>Lolium rigidum</i>
۱۶۶.....	آماره های توصیفی مربوط به مارکرها و جمعیت ها
۱۶۹.....	تحلیل های خوشه ای و مختصات اصلی
۱۷۵.....	۳-۴-۳- روابط خویشاوندی در کمپلکس <i>Festuca - Lolium</i> در ایران
۱۷۹.....	مارکرهای ملکولی میکروساتلاتیت
۱۸۱.....	آنالیز خوشه ای و آنالیز مختصات اصلی
۱۸۵.....	آنالیز اکتشافی داده ها
۱۸۸.....	آنالیز پارسیمونی
۱۹۲.....	فصل چهارم: ترادف های نوکلئوتیدی
۱۹۲.....	۱-۴- مقدمه
۱۹۲.....	۱-۱-۴- کاربرد ترادف های نوکلئوتیدی
۱۹۵.....	۲-۱-۴- آنالیز NJ
۱۹۶.....	۳-۱-۴- اهداف این فصل

عنوان

صفحه

۱۹۶.....	۲-۴- مواد و روش ها
۱۹۶.....	۲-۴- تراالف نوکلئوتیدی نمونه های گیاهی
۲۰۰.....	۲-۴- واکنش زنجیره ای پلیمراز (PCR)
۲۰۱.....	۲-۴- واکنش زنجیره ای پلیمراز ردیف خوانی (Sequencing PCR)
۲۰۲.....	۴-۲-۴- تصحیح کروماتوگرام ها، همترازی نوکلئوتید ها
۲۰۲.....	۴-۵- آنالیز NJ
۲۰۳.....	۴-۳-۴- نتایج و بحث
۲۰۳.....	۴-۱-۳-۴- تبارنمای ITS
۲۰۵.....	۴-۲-۳-۴- تبارنمای trnL-F
۲۰۷.....	۴-۳-۳-۴- تبارنمای trnT-L
۲۰۹.....	۴-۴-۳-۴- نتیجه گیری کلی
۲۱۱.....	فصل پنجم: نتیجه گیری
۲۱۱.....	۱-۵- مقدمه
۲۱۲.....	۲-۵- مواد و روش ها
۲۱۲.....	۳-۵- نتایج کلی و بحث
۲۱۷.....	۴-۵- پیشنهادات
۲۱۹.....	فصل ششم: پیوست
۲۱۹.....	۱-۶- نمونه های گیاهی
۲۱۹.....	۱-۶-۱- مسافرت های انجام شده جهت جمع آوری نمونه گیاهی
۲۲۰.....	۱-۶-۲- نمونه برداری با استفاده از سیلیکاژل
۲۲۲.....	۱-۶-۳- نمونه های گیاهی جمع آوری شده
۲۲۶.....	۱-۶-۴- نمونه های هرباریومی
۲۲۸.....	۱-۶-۵- ماتریس مقادیر صفات ریخت شناختی کمی
۲۲۳.....	۲-۶- استخراج DNA
۲۲۳.....	۱-۲-۶- محلول های لازم برای تهیه بافر استخراج
۲۲۳.....	باfer 0.5M EDTA pH 8.0
۲۲۳.....	باfer 1M TRIS
۲۲۳.....	محلول 5M NaCl
۲۲۴.....	باfer استخراج
۲۲۴.....	دستورالعمل تهیه مقادیر مختلف باfer استخراج
۲۲۴.....	۲-۲-۶- استخراج DNA با روش CTAB
۲۲۶.....	۳-۲-۶- تعیین کیفیت DNA
۲۲۶.....	۴-۲-۶- تهیه باfer 50X TAE

عنوان

صفحه

۲۳۶.....	۶-۵-۲-۶-الکتروفورز ژل آگارز
۲۳۷.....	۶-۲-۶-بافر 10X TAE
۲۳۷.....	۶-۲-۷- تعیین کمیت DNA
۲۳۸.....	۶-۲-۸- رقیق سازی نمونه های DNA استخراج شده
۲۳۸.....	۶-۲-۹- برنامه کامپیوتري DNADILUTE
۲۳۹.....	۶-۲-۱۰- رقیق سازی پرایمرها
۲۴۰.....	۶-۳- نشانگرهای میکروساتلاتیت
۲۴۰.....	۶-۳-۱- نشانگرهای مورد استفاده در مطالعه مارکرهای ملکولی
۲۴۱.....	۶-۳-۲- عملکرد منسوب به ژن متناظر با نشانگرهای EST در جدول پرایمرها
۲۴۲.....	۶-۴- واکنش PCR
۲۴۳.....	۶-۵-۱- الکتروفورز ژل اکریل آمید و رنگ آمیزی نقره (SILVER STAINING)
۲۴۳.....	۶-۵-۲- محلول اکریل آمید ۴۰ درصد (۱۰۰۰ میلی لیتر)
۲۴۳.....	۶-۵-۳- محلول اکریل آمید ۶ درصد (۱۰۰۰ میلی لیتر)
۲۴۳.....	۶-۵-۴- بافر 5X TBE (۲۰۰۰ میلی لیتر)
۲۴۴.....	۶-۵-۵- بافر 1X TBE (۱۱۰۰ میلی لیتر)
۲۴۴.....	۶-۵-۶- آمونیوم پرسولفات (APS)
۲۴۴.....	۶-۵-۷- محلول Developer
۲۴۴.....	۶-۵-۸- محلول Fixer
۲۴۴.....	۶-۵-۹- محلول Stainer
۲۴۴.....	۶-۵-۱۰- رنگ ژل اکریل آمید (۷۰ میلی لیتر)
۲۴۴.....	۶-۵-۱۱- رنگ (Dye) Formamide (۵۰ میلی لیتر)
۲۴۵.....	۶-۵-۱۲- الکتروفورز ژل اکریل آمید و اسرشته ساز (denaturing gel)
۲۴۵.....	۶-۵-۱۳- رنگ آمیزی نقره
۲۴۶.....	۶-۶- ماتریس های ضرایب شباهت DICE
۲۴۶.....	۶-۶-۱- ماتریس ضرایب شباهت DICE برای ۴۶ نمونه <i>Festuca arundinacea</i> (فصل سوم)
۲۴۸.....	۶-۶-۲- ماتریس ضرایب شباهت DICE برای ۱۳ نمونه <i>Festuca pratensis</i> (فصل سوم)
۲۴۹.....	۶-۶-۳- ماتریس ضرایب شباهت DICE برای ۱۵ نمونه <i>Lolium persicum</i> (فصل سوم)
۲۴۹.....	۶-۶-۴- ماتریس ضرایب شباهت DICE برای ۳۲ نمونه <i>Lolium rigidum</i> (فصل سوم)
۲۵۰.....	۶-۶-۵- ماتریس ضرایب شباهت DICE برای ۶۶ نمونه از <i>Festuca-Lolium</i> (فصل سوم)
۲۵۵.....	۶-۷- ترادف نواحی ژنی ITS, TRNL-F, TRNT-L نمونه ها (فصل چهارم)
۲۶۱.....	منابع و مأخذ

فهرست جدول ها

عنوان	صفحه
شکل ۱-۱: نحوه محاسبه ضرایب شباهت با استفاده از داده های باندهای مشترک ۱۴	
شکل ۱-۲: محاسبه G_{ST} به عنوان آنالوگ F_{ST} (Nei, 1973) ۲۲	
شکل ۱-۳-۱- استاندارد سازی دامنه تغییرات صفت ها با تقسیم دامنه تغییرات هر صفت بر میانگین آن ۵۵	
شکل ۲-۱- تصویر نمونه هرباریومی از گونه <i>Festuca arundinacea</i> Schreb. ۷۶	
شکل ۲-۲- تصویر نمونه هرباریومی از گونه <i>Festuca pratensis</i> Huds. ۷۷	
شکل ۲-۳- تصویر نمونه هرباریومی از گونه <i>Lolium multiflorum</i> Lam. ۷۸	
شکل ۲-۴- تصویر نمونه هرباریومی از گونه <i>Lolium perenne</i> L. ۷۹	
شکل ۲-۵- تصویر نمونه هرباریومی از گونه <i>Lolium persicum</i> Boiss. & Hohen. ex Boiss. ۸۰	
شکل ۲-۶- تصویر نمونه هرباریومی از گونه <i>Lolium rigidum</i> Gaud. ۸۱	
شکل ۲-۷- تصویر مقطع عرضی برگ در گونه های منسوب به کمپلکس <i>Festuca-Lolium</i> در ایران ۸۳	
شکل ۲-۸- تصویر پوشش ها در گونه های منسوب به کمپلکس <i>Festuca-Lolium</i> در ایران ۸۴	
شکل ۲-۹- تصویر برش عرضی پوشش ها در گونه های منسوب به کمپلکس <i>Festuca-Lolium</i> در ایران ۸۵	
شکل ۲-۱۰- تصویر بخش های زایشی اولین گلچه زایا در سنبلک گونه های کمپلکس <i>Festuca-Lolium</i> در ایران ۸۶	
شکل ۲-۱۱- فرمول ضریب فاصله/شباهت <i>Cosin</i> ۸۷	
شکل ۲-۱۲- فنوگرام حاصل از آنالیز فنتیک نمونه های منتخب از اعضای کمپلکس <i>Festuca-Lolium</i> در ایران. نمونه ها عبارتند از: Fa= <i>F. arundinacea</i> , Fp= <i>F. pratensis</i> , Lmult= <i>L. multiflorum</i> , Lpere= <i>L. perenne</i> , Lpers= <i>L. persicum</i> , Lrigi= <i>L. rigidum</i> : Msh: کرمان، Krm: سبلان، Sab: اصفهان، Esf: ارزن، Azb: آذربایجان- سبلان، Jav: جواهرده، چشم میشی، Krj: کرج، Khl: خلخال، Neg: نگارمن، Frz: فیروزکوه ۸۹	
شکل ۲-۱۳- آنالیز کوفتیک ماتریس فاصله COSIN و ماتریس فواصل Ultrametric حاصل از آنالیز UPGMA ۹۰	
شکل ۲-۱۴- آنالیز مختصات اصلی ماتریس صفات ریخت شناختی کمی در نرم افزار NTSYS-pc ۹۱	
شکل ۲-۱۵- نقشه ایران نشان دهنده موقعیت جغرافیایی ۹ جمعیت <i>F. arundinacea</i> در برگیرنده ۴۶ ژنتوتیپ مورد مطالعه ۹۱	
شکل ۲-۱۶- (a): نقشه پراکنش نمونه های <i>Festuca pratensis</i> در اروپا و آسیا، بر گرفته از (Fjellheim et al., 2006) نشان دهنده اهمیت ناحیه قفقاز به عنوان یکی از پناهگاه های بالقوه برای جمعیت های شرقی گونه فستوکای مرتعی در دوره یخbandan ۱۱۰	
شکل ۲-۱۷- (b): نقشه ایران، نشان دهنده موقعیت جغرافیایی نمونه های گیاهی <i>F. pratensis</i> نمونه برداری شده برای آنالیز تنوع ژنتیکی ۱۱۱	
شکل ۲-۱۸- نقشه ایران نشان دهنده موقعیت جغرافیایی نمونه های <i>L. persicum</i> جمع آوری شده از جمعیت های طبیعی در ایران ۱۱۲	
شکل ۲-۱۹- نقشه ایران نشان دهنده موقعیت جغرافیایی جمعیت های دربرگیرنده ۳۳ نمونه <i>L. rigidum</i> مورد مطالعه ۱۱۳	
شکل ۲-۲۰- نقشه ایران نشان دهنده موقعیت جغرافیایی جمعیت های دربرگیرنده ۳۳ نمونه <i>L. rigidum</i> مورد مطالعه ۱۱۴	

- شکل ۳-۵: نقشه ایران نشان دهنده موقعیت جغرافیایی جمعیت های ۶۶ نمونه متعلق به ۶ گونه از جنس های استفاده شده در آنالیز فیلوژنتیک *Lolium* و *Festuca* ۱۱۸
- شکل ۳-۶: برنامه دستگاه ترموسایکلر (PCR) برای انجام واکنش زنجیره ای پلیمراز برای مارکرهای ملکولی SSR ژنومی برگرفته از (Lauvergeat et al., 2005) با اندکی تغییر ۱۲۱
- شکل ۳-۷: برنامه دستگاه ترموسایکلر (PCR) برای انجام واکنش زنجیره ای پلیمراز برای مارکرهای ملکولی EST-SSR ژنومی آنلینگ که برای هر جفت پرایمر متغیر و با ارجاع به متمم الکترونیک مقاله اصلی AnnealTemp (Saha et al., 2004) تعیین گردید ۱۲۱
- شکل ۳-۸: تبارنمای بدون ریشه حاصل از خوش بندی با فاصله ژنتیکی (1979) Nei, Li میان ۴۶ نمونه *F. arundinacea* با استفاده از روش Tamura et al., 2007 Minimum Evolution ۱۳۲
- شکل ۳-۹: تبارنمای حاصل از خوش بندی با فاصله ژنتیکی (1979) Nei, Li میان ۴۶ نمونه *F. arundinacea* با استفاده از روش Tamura et al., 2007 Minimum Evolution ریشه دار شده در نقطه وسط (midpoint) که نشان دهنده وجود سه خوش اصلی (با احتساب جمعیت Gol به عنوان زیرخوش ای از جمعیت Gnj-Tuy) می باشد ۱۳۳
- شکل ۳-۱۰: پلات سه بعدی حاصل از آنالیز مختصات اصلی (PCO) ۴۶ نمونه از *F. arundinacea* با استفاده از ضریب DICE در NTSYS-pc ۱۳۴
- شکل ۳-۱۱: عضویت (مقادیر ماتریس Q) ۴۶ نمونه از *F. arundinacea* در چهار گروه جمعیتی بدست آمده از آنالیز باسین. نمودارهای ستونی نشان دهنده عضویت ۴۶ فرد در هریک از چهار خوش استنباط شده با (k=4) می باشند. در شکل، افراد بر حسب مقادیر ماتریس Q مرتب شده و اعداد درون پرانتز کد هر یک از جمعیت ها (1: Gnj, 2: Tuy, 3: Sis, 4: Sab, 5: Arz, 6: Msh, 7: Baf, 8: Baf) می باشند ۱۳۶
- شکل ۳-۱۲: عضویت (مقادیر ماتریس Q) ۹ جمعیت از پیش تعریف شده (predefined) شامل ۴۶ نمونه *F. arundinacea* نمودارهای ستونی نشان دهنده عضویت جمعیت ها در هریک از چهار (k=4) خوش استنباط شده (جمعیت های ژنتیکی) می باشند. اعداد بالای نمودار اندازه هر جمعیت را نشان می دهند ۱۳۶
- شکل ۳-۱۳: پلات حاصل از آنالیز توام فواصل ژنتیکی و جغرافیایی نمونه های گونه *F. arundinacea* در ایران (جدول). (A): تعیین موقعیت مکانی جمعیت ها (مختصات جغرافیایی) و فواصل مستقیم جمعیت ها نسبت به هم. (B): ترسیم شبکه اتصال جمعیت ها به هم با الگوریتم Landscape connectivity network (C): ترسیم Shape Plot که به طور کاملاً مشخص نشان دهنده اهمیت دو ناحیه جغرافیایی در شمال غرب و جنوب غرب ایران می باشد ۱۳۸
- شکل ۳-۱۴: تبار نمای بدون ریشه حاصل از آنالیز خوش بندی نمونه های *F. pratensis* با روش خوش بندی ME (Minimum Evolutionary) و ضریب Dice (Dice) ۱۵۱
- شکل ۳-۱۵: پلات سه بعدی حاصل از آنالیز مختصات اصلی (PCO) نمونه های *F. pratensis* با ضریب Dice ۱۵۲
- شکل ۳-۱۷: خوش بندی ۱۵ نمونه *L. persicum* جمع آوری شده از ۵ جمعیت از نقاط مختلف ایران، با استفاده از ضریب Dice و خوش بندی Minimum Evolutionary Method. سه خوش اصلی با تفکیک کم عبارتند از جمعیت های جنوبی، شمالی و شمال غربی. در خوش جمعیت های جنوبی، نمونه های منسوب به دنا بخوبی از سایر نمونه ها تفکیک شده اند ۱۵۹

شکل ۱۸-۳: پلات سه بعدی مکان نگاری ۱۵ نمونه <i>L. persicum</i> روی سه محور اول حاصل از آنالیز مختصات اصلی با استفاده از ضریب Dice. جمعیت های شمالی N و NW که در آنالیز خوشه ای با تفکیک کم کنار هم قرار گرفته اند، در آنالیز مختصات اصلی بهوضوح از هم تفکیک شده اند.....	۱۶۱
شکل ۱۹-۳: خوشه بندی ۱۵ نمونه <i>L. persicum</i> جمع آوری شده از ۵ جمعیت از نقاط مختلف ایران، با استفاده از روش آنالیز اکتشافی داده ها. پلات سه بعدی خوشه ها (k=4)، محل خوشه ها بر اساس آنالیز MDS و خصوصیات داخلی خوشه ها از طریق میزان شباهت داخلی و واریانس داخلی آنها تعیین می گردد.....	۱۶۲
شکل ۲۰-۳: خوشه بندی ۱۵ نمونه <i>L. persicum</i> جمع آوری شده از ۵ جمعیت از نقاط مختلف ایران، با استفاده از روش آنالیز اکتشافی داده ها. آنالیز پلات دو طرفه (Biplot) که علاوه بر خوشه بندی نمونه ها، توزیع مناسب صفات مورد استفاده (داده های ۰ و ۱) را در خوشه بندی حاصله نشان می دهد.....	۱۶۲
شکل ۲۱-۳: نقشه حوزه مدیترانه، نشان دهنده مهاجرت کشاورزان نخستین از خاورمیانه به اروپا از مسیر دانوب، مسیر مدیترانه ای و مسیر شمال افریقایی در ۱۰ هزار سال پیش. برگرفته از: (Balfourier et al., 2000)	۱۶۵
شکل ۲۲-۳: تبارنمای ریشه دار شده در نقطه وسط (midpoint) حاصل از آنالیز خوشه بندی ۳۳ نمونه <i>L. rigidum</i> از نقاط مختلف ایران با استفاده از ضریب Dice و روش خوشه بندی (ME) (=Minimum Evolution)	۱۷۱
شکل ۲۳-۳: تبارنمای بدون ریشه (unrooted) حاصل از آنالیز (NJ) (=Neighbour Joining) ۳۳ نمونه از <i>L. rigidum</i> ، جمع طول انشعابات روی دندروگرام برابر با ۳/۳۱۸ است.....	۱۷۲
شکل ۲۴-۳: پلات سه بعدی حاصل از آنالیز مختصات اصلی (PCO) ۳۳ نمونه <i>L. rigidum</i> با استفاده از ضریب Dice	۱۷۳
شکل ۲۵-۳: دندروگرام حاصل از آنالیز نمونه های متعلق به گروه <i>Festuca-Lolium</i> با استفاده از صفات ریخت شناختی پس از حذف صفات مرتبط با گل آذین، برگرفته از (Bulinska-Radomska and Lester, 1988)	۱۷۶
شکل ۲۶-۳: دندروگرام حاصل از آنالیز نمونه های متعلق به گروه <i>Festuca-Lolium</i> با استفاده از مارکرهای ملکولی RAPD، برگرفته از (Stammers et al., 1995)	۱۷۷
شکل ۲۷-۳: دندروگرام حاصل از آنالیز نمونه های متعلق به گروه <i>Festuca-Lolium</i> با استفاده از مارکرهای ملکولی EST-SSR، برگرفته از (Mian et al., 2005)	۱۷۸
شکل ۲۸-۳: تبارنمای بدون ریشه حاصل از تحلیل خوشه بندی ۶۶ نمونه متعلق به گروه <i>Festuca-Lolium</i> با استفاده از ضریب DICE و روش خوشه بندی ME	۱۸۲
شکل ۲۹-۳: تبارنمای ریشه دار شده در نقطه وسط (midpoint rooted) حاصل از آنالیز خوشه بندی ۶۶ نمونه متعلق به گروه <i>Festuca-Lolium</i> با استفاده از ضریب DICE و روش خوشه بندی ME	۱۸۳
شکل ۳۰-۳: گراف حاصل از آنالیز مختصات اصلی (PCO) ۶۶ نمونه متعلق به گروه <i>Festuca-Lolium</i> با استفاده از ضریب DICE	۱۸۴
شکل ۳۱-۳: آنالیز (K=5) Cluster visualization - Solution03 که با استفاده از ضریب شباهت Cosine روش خوشه بندی Direct و معیار خوشه بندی E1 برای ۶۶ نمونه متعلق به گروه <i>Festuca-Lolium</i> صورت گرفته است.....	۱۸۶
شکل ۳۲-۳: آنالیز (K=7) Cluster visualization - Solution10 که با استفاده از ضریب شباهت Cosine روش خوشه بندی Repeated Bisection و معیار خوشه بندی I2 برای ۶۶ نمونه متعلق به گروه <i>Festuca-Lolium</i> صورت گرفته است.....	۱۸۷

عنوان

صفحه

..... شکل ۳-۳: آنالیز (K=7) Cluster visualization - Solution12 که با استفاده از ضریب شباهت Cosine روشنخوشه بندی Direct و معیار خوشبندی E1 برای ۶۶ نمونه متعلق به گروه <i>Festuca-Lolium</i> صورت گرفته است.....	۱۸۸
..... شکل ۳-۴: تبارنمای حاصل از آنالیز فیلوزنیک ۶۶ نمونه متعلق به گروه <i>Festuca-Lolium</i> با معیار پارسیمونی.	۱۸۹
..... شکل ۴-۱ برنامه دستگاه PCR (ترموسایکلر) برای تکثیر ناحیه ITS	۲۰۰
..... شکل ۴-۲ برنامه دستگاه PCR (ترموسایکلر) برای تکثیر ناحیه های trnL-F, trnT-L	۲۰۱
..... شکل ۴-۳ تبارنمای فیلوزنیک حاصل از ترادف های ITS نمونه های متعلق به گروه <i>Festuca-Lolium</i> با استفاده از روش NJ و بوت استرپ ۱۰۰۰۰ بار تکرار.	۲۰۴
..... شکل ۴-۴ تبارنمای فیلوزنیک حاصل از ترادف های trnL-F نمونه های متعلق به گروه <i>Festuca-Lolium</i> با استفاده از روش NJ و بوت استرپ ۱۰۰۰۰ بار تکرار.	۲۰۶
..... شکل ۴-۵ تبارنمای فیلوزنیک حاصل از ترادف های trnT-L نمونه های متعلق به گروه <i>Festuca-Lolium</i> با استفاده از روش NJ و بوت استرپ ۱۰۰۰۰ بار تکرار.	۲۰۸

فهرست جدول ها

عنوان	صفحه
جدول ۱-۱- زیرخانواده های خانواده Poaceae (Mathews et al., 2000)	۳
جدول ۲-۱- موقعیت زیر قبیله Poaceae در خانواده Poineae	۴
جدول ۳- جنس های متعلق به قبیله Poeae و تعداد گونه های آنها در فلورا ایرانیکا (Bor, 1970)	۵
جدول ۴- بخشی از آماره های توصیفی (descriptive statistics) قابل محاسبه در ژنتیک جمعیت ها، که با استفاده از مارکرهای ملکولی دامینتنت می توان آنها را محاسبه نمود.	۱۵
جدول ۱-۲- کلید شناسایی جنس های قبیله Poeae (=Festuceae) در ایران (Bor, 1970)	۳۰
جدول ۲-۲- خطوط تکاملی اصلی (معادل زیر قبیله ها) در قبیله Poeae	۳۲
جدول ۳-۲- محدوده تاکسونومیک زیر قبیله Loliinae بر اساس نظر Clayton & Renevoize (1986) و Holub (1998)	۳۳
جدول ۴-۲- طبقه بندی و محدوده تاکسونومیک جنس <i>Festuca</i> و خویشاوندان نزدیک آن (نظریات مختلف)	۳۷
جدول ۵-۲- کلید شناسایی گونه های جنس <i>Festuca</i> در فلورا ایرانیکا (Bor, 1970)	۴۰
جدول ۶-۲- کلید شناسایی گونه های جنس <i>Festuca</i> در فلور عراق (Bor, 1968)	۴۱
جدول ۷-۲- کلید شناسایی زیر گونه های گونه <i>F. arundinacea</i> در فلور چین و فلور اروپا (Markgraf- Dannenberg, 1980)	۴۲
جدول ۸-۲- کلید شناسایی گونه های جنس <i>Lolium</i> در فلور ایرانیکا (Bor, 1970)	۴۸
جدول ۹-۲- کلید شناسایی گونه های جنس <i>Lolium</i> در فلور عراق (Bor, 1968)	۴۹
جدول ۱۰-۲- کلید شناسایی گونه های جنس <i>Lolium</i> از فلور ترکیه (Davis et al., 2000)	۴۹
جدول ۱۱-۲- صفات مورد بررسی در بخش مطالعه ریخت شناسی	۵۵
جدول ۱۲-۲- حدائق، حداکثر و میانگین صفات کمی مورد مطالعه در گونه <i>Festuca arundinacea</i> Schreb.	۵۸
جدول ۱۳-۲- صفات ریخت شناختی کمی، دارای کمترین و بیشترین تنوع در گونه <i>Festuca arundinacea</i>	۶۰
جدول ۱۴-۲- حدائق، حداکثر و میانگین صفات کمی مورد مطالعه در گونه <i>Festuca pratensis</i> Huds.	۶۱
جدول ۱۵-۲- صفات ریخت شناختی کمی، دارای کمترین و بیشترین تنوع در گونه <i>Festuca pratensis</i>	۶۳
جدول ۱۶-۲- حدائق، حداکثر و میانگین صفات کمی مورد مطالعه در گونه <i>Lolium multiflorum</i> Lam.	۶۴
جدول ۱۷-۲- صفات ریخت شناختی کمی، دارای کمترین و بیشترین تنوع در گونه <i>Lolium multiflorum</i>	۶۶
جدول ۱۸-۲- حدائق، حداکثر و میانگین صفات کمی مورد مطالعه در گونه <i>Lolium perenne</i> L.	۶۷
جدول ۱۹-۲- صفات ریخت شناختی کمی، دارای کمترین و بیشترین تنوع در گونه <i>Lolium perenne</i>	۶۹
جدول ۲۰-۲- حدائق، حداکثر و میانگین صفات کمی مورد مطالعه در گونه <i>Lolium persicum</i> Boiss. & Hohen. ex Boiss.	۷۰
جدول ۲۱-۲- صفات ریخت شناختی کمی، دارای کمترین و بیشترین تنوع در گونه <i>Lolium persicum</i>	۷۲
جدول ۲۲-۲- حدائق، حداکثر و میانگین صفات کمی مورد مطالعه در گونه <i>Lolium rigidum</i> Gaud.	۷۳
جدول ۲۳-۲- صفات ریخت شناختی کمی، دارای کمترین و بیشترین تنوع در گونه <i>Lolium rigidum</i>	۷۵
جدول ۲۴-۲- مقدار ویژه محورهای اول تا چهارم در آنالیز مختصات اصلی با صفات ریخت شناختی کمی	۹۱

جدول ۱-۳: آدرس، ارتفاع، ناحیه و مختصات جغرافیایی ۴۶ نمونه جمعیتی <i>Festuca arundinacea</i> متعلق به ۹	۹
جمعیت طبیعی این گونه در ایران.....	۱۰۸
جدول ۲-۳: آدرس، ارتفاع، ناحیه و مختصات جغرافیایی ۱۳ نمونه گیاهی <i>Festuca pratensis</i> متعلق به ۵	۵
جمعیت طبیعی در ایران.....	۱۰۹
جدول ۳-۳: آدرس و ارتفاع ۱۵ نمونه گونه <i>Lolium persicum</i> متعلق به ۵ جمعیت طبیعی از ایران.....	۱۱۲
جدول ۴-۳: آدرس، ارتفاع، نام جمعیت و مختصات جغرافیایی ۳۳ نمونه گیاهی متعلق به ۷ جمعیت <i>L. rigidum</i> از شمال، شمال غرب، جنوب و جنوب غرب ایران.....	۱۱۳
جدول ۵-۳: کد نمونه، آدرس، ارتفاع و مختصات جغرافیایی ۶۶ نمونه (۶ گونه، ۲ جنس) مورد استفاده در آنالیز روابط خویشاوندی در گروه <i>Festuca-Lolium</i> (Lauvergeat et al., 2004) (Saha et al., 2004)	۱۱۶
جدول ۶-۳: تعداد ۳۲ جفت پرایمر میکروساتلاتیت ژنومی (Lauvergeat et al., 2005) مورد استفاده در این تحقیق، ترادف های تکرار شونده، اندازه باند مورد انتظار، دمای آنیلینگ (Ta) یا ذوب (Tm) هر پرایمر.....	۱۱۹
جدول ۷-۳: اجزای واکنش زنجیره ای پلیمراز (PCR) برای هر دسته از مارکرهای ژنومی و EST و غلظت آنها، برگرفته از منابع اصلی (Lauvergeat et al., 2005; Saha et al., 2004) با اندکی تغییر.....	۱۲۱
جدول ۸-۳: پارامترهای پرموتیشن آنالیز بایسین (Falush et al., 2007) برای تعیین ساختار جمعیت در ۴۶ فرد متعلق به ۹ جمعیت <i>Festuca arundinacea</i> (Nei, 1973)	۱۲۴
جدول ۹-۳: اندیس های تنوع ملکولی (Yeh et al., 2000) در جمعیت های مورد مطالعه از <i>F. arundinacea</i> در ایران. P: تعداد لکوس های پلی مورفیک, HS: میانگین هتروزایگوسیتی مورد انتظار درون جمعیت ها (2pq), h: میانگین تنوع ژنی (Nei, 1973) بصورت دامیننت با مقادیر ۱ و ۰ برای ۱۲ مارکر میکروساتلاتیت ژنومی (Lauvergeat et al., 2005) و ۲۰ مارکر میکروساتلاتیت (Saha et al., 2004) مورد استفاده برای نمونه های <i>F. arundinacea</i> EST	۱۲۸
جدول ۱۰-۳: مقادیر (PIC =Polymorphic Information Content) و تعداد لکوس ها (نمره دهی لکوس ها بصورت دامیننت با مقادیر ۱ و ۰) برای <i>F. arundinacea</i> جدول ۱۱-۳: مقادیر درصد تنوع بیان شده توسط محورهای ۱-۴ استخراج شده در آنالیز مختصات اصلی برای گونه <i>F. arundinacea</i> جدول ۱۲-۳: آنالیز واریانس ملکولی (AMOVA) بر اساس ۲۲۰۲ باند SSR و EST-SSR ثبت شده برای ۴۶ نمونه جمعیتی فستوکای بلند. گروه های آنالیز شده گروه های استنباط شده (k=4) از آنالیز بایسین (شکل ۷-۳ و ۸-۳) هستند..... جدول ۱۳-۳: آماره های توصیفی (تعداد و درصد لکوس های پلی مورفیک) مربوط به چهار گروه استنباط شده در آنالیز بایسین. Ht: میانگین هتروزایگوسیتی مورد انتظار در کل جمعیت (2pq), Gst: سهم تنوع ژنتیکی کل مربوط به تمایز یابی زیر جمعیت ها..... جدول ۱۴-۳: مقادیر PIC و تعداد لکوس هر یک از مارکر های ملکولی میکروساتلاتیت ژنومی (Saha et al., 2004) و EST (Lauvergeat et al., 2005) مورد استفاده برای <i>F. pratensis</i> جدول ۱۵-۳: آماره های تنوع ملکولی و ژنتیک جمعیت و تعداد لکوس های پلی مورفیک و درصد آنها در هر یک از گروه های جمعیتی گونه <i>F. pratensis</i> (۱) سبلان-برزقوش، (۲) همدان (الوند)، (۳) سمیرم-چشمہ میشی (دنا) ۱۴۹	۱۲۹

جدول ۱۶-۳: مقادیر درصد تنوع بیان شده توسط محورهای اول تا چهارم استخراج شده در آنالیز مختصات اصلی برای گونه <i>F. pratensis</i> ۱۵۲
جدول ۱۷-۳: مقادیر PIC و تعداد لکوس هر یک از مارکرهای ملکولی میکروساتلاتیت ژنومی (Saha et al., 2004 و Lauvergeat et al., 2005) مورد استفاده برای <i>L. persicum</i> ۱۵۵
جدول ۱۸-۳: تعداد لکوس های پلی مورفیک و درصد آنها در هر جمعیت و گروه جمعیتی برای نمونه های <i>L. persicum</i> ۱۵۷
جدول ۱۹-۳: مقادیر درصد تنوع بیان شده توسط محورهای ۱-۴ استخراج شده در آنالیز مختصات اصلی (PCO) برای گونه <i>L. persicum</i> ۱۵۹
جدول ۲۰-۳: مقادیر PIC برای هریک از ۳۲ جفت پرایمر میکروساتلاتیت ژنومی و EST مطالعه شده برای ۳۳ نمونه <i>L. rigidum</i> ۱۶۶
جدول ۲۱-۳: تعداد و درصد لکوس های پلی مورفیک، آماره های تنوع ملکولی مربوط به جمعیت های مورد مطالعه در گونه <i>L. rigidum</i> در ایران. جمعیت ها عبارتند از: ۱: سبلان، ۲: ارومیه-کردستان، ۳: البرز شمالی، ۴: البرز جنوبی، ۵: کرمان، ۶: دنا، ۷: ارزن. P: تعداد لکوس های پلی مورفیک، h: میانگین تنوع ژنی (Nei 1973)، a: میانگین اطلاعات شانون ۱۶۸
جدول ۲۲-۳: تعداد و درصد لکوس های پلی مورفیک، آماره های تنوع ملکولی مربوط به گروه های جمعیتی مورد مطالعه در گونه <i>L. rigidum</i> در ایران، با تقسیم جمعیت ها به دو گروه جمعیت های زاگرس (۱) و جمعیت های البرز (۲). P: تعداد لکوس های پلی مورفیک، Hs: میانگین هتروزایگوستی مورد انتظار درون جمعیت ها (2piqi)، h: میانگین تنوع ژنی (Nei 1973)، a: میانگین ایندکس اطلاعات شانون ۱۶۹
جدول ۲۳-۳: مقادیر درصد تنوع بیان شده توسط محورهای ۱-۴ استخراج شده در آنالیز مختصات اصلی (PCO) برای ۳۳ نمونه از گونه <i>L. rigidum</i> ۱۷۴
جدول ۲۴-۳: تعداد و درصد لکوس های پلی مورفیک و آماره های h و a به تفکیک گونه ها ۱۸۰
جدول ۲۵-۳: مقادیر PIC مربوط به مارکرهای مورد استفاده در تحلیل روابط خویشاوندی گونه های <i>Lolium</i> و <i>Festuca</i> ۱۸۰
جدول ۲۶-۳: مقادیر درصد تنوع بیان شده توسط محورهای ۱-۴ استخراج شده در آنالیز مختصات اصلی در مطالعه ۶۶ نمونه متعلق به گروه <i>Festuca-Lolium</i> ۱۸۵
جدول ۱-۴ نمونه هایی که ترادف نوکلئوتیدی ناحیه ژنی ITS آنها مورد استفاده قرار گرفته اند ۱۹۷
جدول ۲-۴ نمونه هایی که ترادف نوکلئوتیدی ناحیه ژنی trnL-F آنها مورد استفاده قرار گرفته اند ۱۹۸
جدول ۳-۴ نمونه هایی که ترادف نوکلئوتیدی ناحیه ژنی trnT-L آنها مورد استفاده قرار گرفته اند ۱۹۹
جدول ۴-۴ ترادف پرایمرهای مورد استفاده برای تکثیر نواحی ژنی ITS, trnL-F, trnT-L ۲۰۰
جدول ۵-۴ اجزای واکنش PCR برای تکثیر ناحیه های ژنی ITS, trnLF, trnTL ۲۰۰
جدول ۶-۴ اجزای واکنش PCR ردیف خوانی ۲۰۱

فصل اول: مقدمه

۱-۱- خانواده Poaceae

Poaceae (R. Br.) Barnh. (1895)

Syn.: GRAMINEAE A. L. De Jussieu, Gen Plant. 28 (1789).

قدیم ترین رکوردهای ثبت شده از دانه گرده گراس ها (گیاهان خانواده گندم، Poaceae) حضور آنها را در رسوبات پالئوسن (Paleocene) از جنوب آفریقا و آمریکای جنوبی نشان داده اند، رسوباتی که قدمتی ۵۵ تا ۶۰ میلیون ساله دارند (Jacobs et al., 1999). بنابراین، گراس ها پس از پایان دوران کرتاسه (Cretaceous) و انقراض های وسیعی که به ناپدید شدن دیناسورها منجر گردید، در اوایل تریاکی (Tertiary) پدید آمده اند. سایر شواهد فسیلی یافت شده که با قدمت ۷۰ میلیون سال و مریبوط به جنوب آفریقا و جنوب آمریکا هستند، به دلیل کیفیت نامناسب، مطمئن نیستند؛ لذا حضور گراس ها یا گروه های نیایی آنها در اواخر کرتاسه مشکوک قلمداد می شود.

خانواده Poaceae (R. Br.) Barnh., nom. cons. (=Gramineae Juss., nom. cons. et nom. alt.) با داشتن

بیش از ۱۰ هزار گونه و ۷۰۰ جنس یکی از بزرگترین و مهم ترین خانواده های نهاندانه است که از زمان بسیار قدیم و همراه با شروع تاریخ تمدن بشری همواره مورد توجه انسان قرار گرفته است (Clayton and Renvoize, 1986; Linder and Rudall, 2005). خانواده گندمیان مهم ترین خانواده گیاهی در تامین غذا برای انسان است. از میان ده غله نخست که انسان برای بقای خود (بطور مستقیم و یا بطور غیر مستقیم به عنوان علوفه دام) از آنها